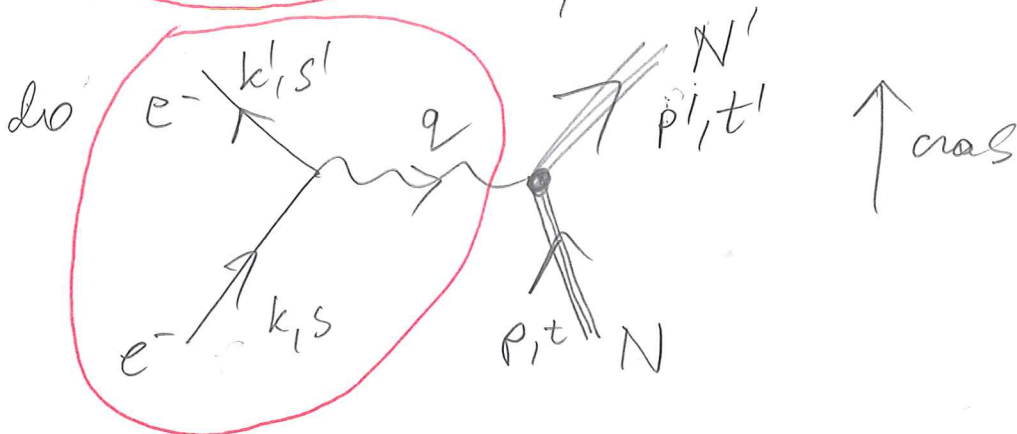
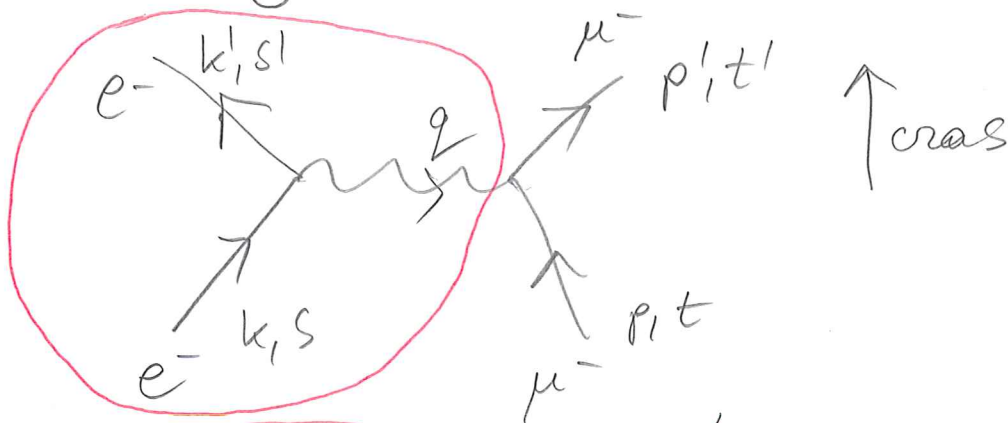


Wykład 13 W2FT 2020

rozpraszanie elastyczne  
elektron - nukleon

$$e + N \rightarrow e' + N'$$

Przechodźmy od



Na początek dobre wiadomości

1. Kinematyka dla procesów  
 $e + \mu \rightarrow e + \mu$  i  $e + N \rightarrow e + N$   
 jest taka sama, z oczywistą  
 zmianą  $m_\mu \rightarrow m_N$

2. Część zakreślona na czerwono  
 jest taka sama dla obu procesów

3. Liniami dla początkowego i końcowego  
 nukleonu przypiszemy te same  
 wyrażenia co liniom mionowym

Pomimo tego, że nukleon (proton, neutron) jest cząstką o spinie  $\frac{1}{2}$ , to nie jest punktową cząstką Diraca. Dlatego wierzchołek nukleonowy musi mieć inną postać!

Całe "ramię" nukleonowe wygląda tak:

$$N^\alpha = \bar{u}(p', t') \left( F_1 \gamma^\alpha + \frac{iF_2}{2M} (p' - p)_\beta \sigma^{\alpha\beta} \right) u(p, t).$$

$M \equiv m_N$  to masa nukleonu,

$$\sigma^{\alpha\beta} = \frac{i}{2} [\gamma^\alpha, \gamma^\beta],$$

$F_i = F_i((p' - p)^2)$  to tzw. czynniki kształtu (form factors), które są rzeczywistymi

funkcjami kwadratu przekazu

steropędu. Ten sam wzór na  $N^\alpha$  obowiązuje dla protonu i neutronu, ale formfaktory  $F_1$  i  $F_2$  są inne:

$$F_1^p, F_2^p, F_1^n, F_2^n.$$

Skąd bierą się formfaktory?

Oddziaływania elektromagnetyczne nukleonów wynikają z ich struktury i oddziaływań (EM i silnych) składowych (kwarków).

Formfaktory  $F_1$  i  $F_2$  uwzględniają rozkład ładunku i momentu magnetycznego w nukleonie i fakt, że moment magnetyczny nukleonu jest "anomalny", tzn. inny niż wynikałoby to z równania Diraca.

Wzrost na  $N^\infty$  jest najbardziej ogólny, biorąc pod uwagę lorentzowską współmierność, hermitowskość oraz niezmienność cechowania (wiązaną z zachowaniem ładunku elektrycznego).

$F_1(0)$  jest całkowitym ładunkiem elektrycznym nukleonu w jednostkach ładunku protonu

$F_2(0)$  opisuje anomalny moment magnetyczny nukleonu

$$F_1^p(0) = 1 \quad , \quad F_1^n(0) = 0$$

$$F_2^p(0) = 1.79284 \quad , \quad F_2^n(0) = -1.91304$$

Uwaga:

$q^2 \equiv (p' - p)^2$  jest jedynym skalarem Lorentzowskim, jaki można zbudować z czterowektorów  $p$  i  $p'$

$$p^2 = p'^2 = M^2$$

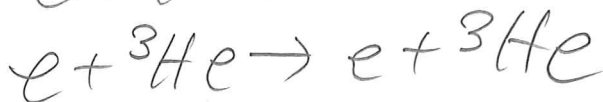
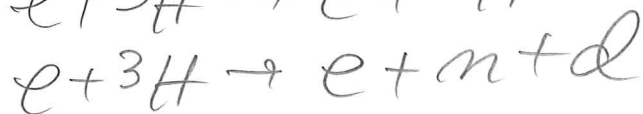
$$(p' - p)^2 = 2M^2 - 2p \cdot p'$$

$$(p' + p)^2 = 2M^2 + 2p \cdot p'$$

Pomiary formfaktorów nukleonowych i opracowywane modele teoretyczne są bardzo ważną dziedziną fizyki, gdzie QCD spotyka się z QED, a fizyka cząstek elementarnych łączy się z fizyką jądrową i nawet fizyką atomową.

Nie mamy tarczy neutronowej, więc lekkie jądra atomowe ( $^2\text{H}$ ,  $^3\text{He}$ ) są wykorzystywane jako efektywne tarcze neutronowe. To jednak wymaga wiedzy na temat budowy jąder

oraz tw. efektów oddziaływania  
w stanie końcowym między  
fragmentami jąder  
(final-state interactions)



Powstało bardzo wiele modeli  
elektromagnetycznych formfaktorów  
mukleonowych. Część z nich to proste  
dopasowanie do danych doświadczal-  
nych (np. dopasowanie dipolowe  
oparte na prepcisie  $(1 + \frac{|q^2|}{\Lambda^2})^{-2}$ ).

Inne są wyprowadzone z QCD,  
lub baryj na podstawie z QCD  
chiralnej efektywnej teorii pola.

Często używane są liniowe kombinacje  $F_1$  i  $F_2$ , tzw. formfaktory Saehsa:

$$G_E(q^2) = F_1(q^2) + \frac{q^2}{4M^2} F_2(q^2)$$

$$G_M(q^2) = F_1(q^2) + F_2(q^2)$$

$G_E$  - elektryczny formfaktor

$G_M$  - magnetyczny formfaktor

Dla rozpraszania  $e + N \rightarrow e + N$  zastosujemy pakiet FeynCalc, by otrzymać  $|L_\alpha N^\alpha|^2$

$$L_\alpha = \bar{u}(k', s') \gamma_\alpha u(k, s)$$

$$N^\alpha = \bar{u}(p', t') \left( F_1 \gamma^\alpha + \frac{iF_2}{2M} (p' - p)_\rho \sigma^{\alpha\rho} \right) u(p, t)$$

Korzystając z tożsamości zwanej rękodzielnicą Gordona prądu nukleonowego

$$N^\alpha = \bar{u}(p', t') \left( (F_1 + F_2) \gamma^\alpha - \frac{F_2}{2M} (p + p')^\alpha \not{1} \right) u(p, t)$$

$$|L_\alpha N^\alpha|^2 = (L_\alpha)^* L_\beta (N^\alpha)^* N^\beta$$

$$(L_\alpha)^* = \dots = \bar{u}(k, s) \gamma_\alpha u(k', s')$$

$$(N^\alpha)^* = (N^\alpha)^\dagger = \boxed{F_1, F_2 \in \mathbb{R}}$$

$$\begin{aligned} & (u(p, t))^\dagger \left( (F_1 + F_2) \gamma^\alpha - \frac{F_2}{2M} (p + p')^\alpha \right) (\bar{u}(p', t'))^\dagger \\ &= (u(p, t))^\dagger \gamma^0 \gamma^0 \left( (F_1 + F_2) \gamma^\alpha - \frac{F_2}{2M} (p + p')^\alpha \right)^\dagger \gamma^0 u(p', t') \\ &= \bar{u}(p, t) \left( (F_1 + F_2) \gamma^0 (\gamma^\alpha)^\dagger \gamma^0 - \frac{F_2}{2M} (p + p')^\alpha \gamma^0 \right) u(p', t') \\ &= \bar{u}(p, t) \left( (F_1 + F_2) \gamma^\alpha - \frac{F_2}{2M} (p + p')^\alpha \right) u(p', t') \end{aligned}$$

$$|A|^2 = \bar{u}(k, s) \gamma_\alpha u(k', s') \bar{u}(k', s') \gamma_\beta u(k, s)$$

$$\bar{u}(p, t) \left( (F_1 + F_2) \gamma^\alpha - \frac{F_2}{2M} (p + p')^\alpha \right) u(p', t')$$

$$\bar{u}(p', t') \left( (F_1 + F_2) \gamma^\beta - \frac{F_2}{2M} (p + p')^\beta \right) u(p, t) =$$

$$= \tilde{L}_{\alpha\beta} \tilde{N}^{\alpha\beta}$$

$$\tilde{L}_{\alpha\beta} = \text{Tr} \left( u(k, s) \bar{u}(k, s) \gamma_\alpha u(k', s') \bar{u}(k', s') \gamma_\beta \right)$$

$$\tilde{N}^{\alpha\beta} = \text{Tr} \left( u(p, t) \bar{u}(p, t) \left( (F_1 + F_2) \gamma^\alpha - \frac{F_2}{2M} (p + p')^\alpha \right) \right)$$

$$u(p', t') \bar{u}(p', t') \left( (F_1 + F_2) \gamma^\beta - \frac{F_2}{2M} (p + p')^\beta \right)$$



$$u(k, s) \bar{u}(k, s) = \frac{1}{2} (k + m) (1 + \gamma_5 \not{s})$$

$$u(p, t) \bar{u}(p, t) = \frac{1}{2} (p + M) (1 + \gamma_5 \not{t})$$

$$u(k', s') \bar{u}(k', s') = \frac{1}{2} (k' + m) (1 + \gamma_5 \not{s}')$$

$$u(p', t') \bar{u}(p', t') = \frac{1}{2} (p' + M) (1 + \gamma_5 \not{t}')$$

$$k^2 = k'^2 = m^2$$

$$p^2 = p'^2 = M^2$$

$$k + p = k' + p'$$

$$(k + p)^2 = (k' + p')^2$$

$$k^2 + p^2 + 2k \cdot p = k'^2 + p'^2 + 2k' \cdot p'$$

$$\Rightarrow k \cdot p = k' \cdot p'$$

$$k - p' = k' - p$$

$$(k - p')^2 = (k' - p)^2 \Rightarrow k \cdot p' = k' \cdot p$$

$$k - k' = p' - p$$

$$(k - k')^2 = (p' - p)^2$$

$$2m^2 - 2k \cdot k' = 2M^2 - 2p \cdot p'$$

$$\Rightarrow p \cdot p' = M^2 - m^2 + k \cdot k'$$

Korzystając z zasady zachowania energii i pędu, możemy zapisać

$$p' = k + p - k'$$

Wzywając FeynCalc możemy łatwo uzyskać  $\hat{\Sigma}_{\alpha\beta}$  i  $\hat{N}^{\alpha\beta}$ .

Zwężeniem tych tensorów jest długim wyrażeniem zawierającym różne iloczyny skalarne czterowektorów. Aby uprościć

długie wyrażenie na  $\hat{\Sigma}_{\alpha\beta}$   $\hat{N}^{\alpha\beta}$ ,

wykorzystujemy w najogólniejszym przypadku wszystkich spolaryzowanych cząstek (bez sumowania po  $s, t, s'$  i  $t'$ )

następujące związki

$$k \cdot k = m^2, \quad k \cdot s = 0, \quad k' \cdot k' = m^2, \quad k' \cdot s' = 0$$

$$p \cdot p = M^2, \quad p \cdot t = 0, \quad p' \cdot p' = M^2, \quad p' \cdot t' = 0$$

$$s^2 = -1, \quad s'^2 = -1, \quad t^2 = -1, \quad t'^2 = -1$$

$$k + p = k' + p'$$

$$(k + p)^2 = (k' + p')^2 \Rightarrow k \cdot p = k' \cdot p'$$

$$k - k' = p' - p$$

$$(k - k')^2 = (p' - p)^2$$

$$k^2 + k'^2 - 2k \cdot k' = p'^2 + p^2 - 2p \cdot p'$$

$$2m^2 - 2k \cdot k' = 2M^2 - 2p \cdot p'$$

$$p \cdot p' = k \cdot k' - m^2 + M^2$$

Rachunki są przeprowadzone w następujących notacjach

- electron-nucleon-from-traces-fully-polarised.nb

(wszystkie cząstki są spolaryzowane;  
 $s, t, s', t'$  - określone)

- electron-nucleon-from-traces-initially-polarised.nb

(obie cząstki w stanie początkowym są spolaryzowane; a polaryzacje cząstek wychodzących nie jest mierzona;  $s, t$  - określone, sumowanie po  $s', t'$ )

- electron - nucleon - from - traces - unpolarised. nb  
(ładna z ciałem nie jest spolaryzowana; suma po s'it' oraz średnia po s i t)

Uwaga:

W sytuacji, gdy tylko jądra z ciałem jest spolaryzowana w stanie początkowym, dostajemy wynik jak dla przypadku bez polaryzacji

- electron - nucleon - from - traces - initially - polarised - electron. nb
- electron - nucleon - from - traces - initially - polarised - nucleon. nb

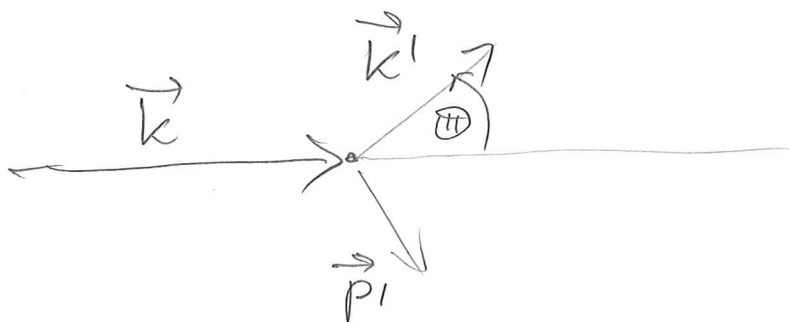
W kontekście rozpraszania elektron-nukleon najczęściej wspomniany jest wzór Rosenblutha, opisujący niespolaryzowany przypadek rozpraszania ultrarelatywyistycznego elektronu na spoczywającym nukleonie

$$\frac{d\bar{\sigma}}{d\hat{k}'} \equiv \frac{d\bar{\sigma}}{d\Omega_e} =$$

$$= \left( \frac{d\sigma}{d\hat{k}'} \right)_{\text{Mott}} \left\{ \frac{G_E^2 + \tau G_M^2}{1 + \tau} + 2\tau G_M^2 \text{tg}^2 \frac{\Theta}{2} \right\},$$

$$\tau \equiv -\frac{q^2}{4M^2} > 0;$$

$$\left( \frac{d\sigma}{d\hat{k}'} \right)_{\text{Mott}} = \frac{\alpha^2 \cos^2 \frac{\Theta}{2}}{4E^2 \sin^4 \frac{\Theta}{2} \left( 1 + \frac{2E}{M} \sin^2 \frac{\Theta}{2} \right)}$$



w tym wyrażeniu masa elektronu jest przyjęta za równą zero:  $E = k^0 = |\vec{k}|$

Czym jest  $N^\alpha$ ?

Czy możemy wykorzystać  $N^\alpha$  w opisie rozpraszania elektronów na jądrach atomowych?

$N^\alpha \equiv N^\alpha(p, t, p', t')$  jest elementem macierzowym operatora prądu elektromagnetycznego pojedynczego nukleonu w przestrzeni pędowej:

$$N^\alpha = \langle \vec{p}' t' | j_{1N}^\alpha | \vec{p} t \rangle$$

Jeśli stany jądrowe opisywane są w ramach nielatywistycznego równania Schrödingera, to relatywistyczną postać  $N^\alpha$  należy odpowiednio dopasować do stanów jądrowych i przeprowadzić tzw. nielatywistyczną redukcję wyrażenia na  $N^0$  oraz  $N^i$  ( $i=1, 2, 3$ )

we wzorze na przekroj czynnik do  
wystepowaly czynniki  $\frac{1}{\sqrt{2E}}$  i  $\frac{1}{\sqrt{2E'}}$

$$(E \equiv p^0 \equiv \sqrt{m^2 + \vec{p}^2}, E' \equiv p'^0 \equiv \sqrt{m^2 + \vec{p}'^2})$$

Te czynniki tei maja charakter  
relatywistyczny, wiec przy redukcji  
nierelatywistycznej wygodnie  
jest rozpatrywac zmienioma  
formule na  $u(p, t)$ :

$$u(p, t) \rightarrow \sqrt{\frac{E+m}{2E}} \begin{pmatrix} \chi_t \\ \frac{\vec{p} \cdot \vec{\sigma}}{E+m} \chi_t \end{pmatrix},$$

gdzie  $m$  oznacza teraz mase nukleonu.  
Będziemy tei wywac  $\hat{F}_2 \equiv \frac{F_2}{2m}$ !

$$\langle \vec{p}' t' | j_{1N}^\mu | \vec{p} t \rangle =$$

$$\bar{u}(p', t') (F_1 \gamma^\mu + i \sigma^{\mu\nu} (p' - p)_\nu \hat{F}_2) u(p, t) =$$

$$= (\text{orbitad Gordona pradu})$$

$$\bar{u}(p', t') (G_M \gamma^\mu - \hat{F}_2 (p' + p)^\mu \mathbb{1}) u(p, t)$$

uwaga:  $\hat{M}$  we wzorach na kolejnych  
stronach oznacza rozwinięcie w szereg  
przy pomocy programu Mathematica

$$\begin{aligned}
N^0 &= \bar{u}(p', t') (G_M \gamma^0 - \tilde{F}_2 (p' + p)^0) u(p, t) = \\
&= u^\dagger(p', t') \gamma^0 G_M \gamma^0 u(p, t) \\
&\quad - \tilde{F}_2 (p'^0 + p^0) \bar{u}(p', t') u(p, t) = \\
&= G_M u^\dagger(p', t') u(p, t) - F_2 (p'^0 + p^0) \\
&\quad - \tilde{F}_2 (p'^0 + p^0) \bar{u}(p', t') u(p, t)
\end{aligned}$$

$$= \bar{u}(p, t) = \sqrt{\frac{p^0 + m}{2p^0}} \begin{pmatrix} \chi_t \\ \frac{\vec{p} \cdot \vec{\sigma}}{p^0 + m} \chi_t \end{pmatrix}$$

$$u(p', t') = \sqrt{\frac{p'^0 + m}{2p'^0}} \begin{pmatrix} \chi_{t'} \\ \frac{\vec{p}' \cdot \vec{\sigma}}{p'^0 + m} \chi_{t'} \end{pmatrix}$$

$$p^0 \equiv \sqrt{m^2 + \vec{p}^2}, \quad p'^0 = \sqrt{m^2 + \vec{p}'^2}$$

$$H \equiv \sqrt{p^0 + m} \sqrt{p'^0 + m} \frac{1}{2\sqrt{p^0 p'^0}}$$

$$\begin{aligned}
N_{\pm}^0 &\equiv H G_M \chi_{t'}^\dagger \left( \mathbb{1}, \frac{\vec{p}' \cdot \vec{\sigma}}{p'^0 + m} \right) \begin{pmatrix} 1 \\ \frac{\vec{p} \cdot \vec{\sigma}}{p^0 + m} \end{pmatrix} \chi_t \\
&= H G_M \chi_{t'}^\dagger \left( \mathbb{1} + \frac{\vec{p}' \cdot \vec{\sigma} \vec{p} \cdot \vec{\sigma}}{(p'^0 + m)(p^0 + m)} \right) \chi_t
\end{aligned}$$

$$\vec{p}' \cdot \vec{\sigma} \vec{p} \cdot \vec{\sigma} = \vec{p} \cdot \vec{p}' \mathbb{1} + i(\vec{p}' + \vec{p}) \cdot \vec{\sigma}$$



$$N_I^0 = HG_M \chi_{t'}^+ \left( 1 + \frac{\vec{p} \cdot \vec{p}'}{(p'^0 + m)(p^0 + m)} + i \frac{(\vec{p}' \times \vec{p}) \cdot \vec{\sigma}}{(p'^0 + m)(p^0 + m)} \right) \chi_t =$$

$$= GM \underbrace{\left( 1 + \frac{H \vec{p} \cdot \vec{p}'}{(p'^0 + m)(p^0 + m)} \right)}_{S_1} \chi_{t'}^+ \chi_t$$

$$+ \chi_{t'}^+ \underbrace{GM \frac{i(\vec{p}' \times \vec{p}) \cdot \vec{\sigma}}{(p'^0 + m)(p^0 + m)}}_{S_2} \chi_t$$

$$S_1 \stackrel{M}{\approx} 1 - \frac{(\vec{p}' - \vec{p})^2}{8m^2}$$

$$S_2 \stackrel{M}{\approx} \frac{1}{4m^2}$$

} zakłada się  
 $\vec{p}^2 \ll m^2$   
 $p'^2 \ll m^2$

$$N_I^0 \approx \left( 1 - \frac{(\vec{p}' - \vec{p})^2}{8m^2} \right) GM \chi_{t'}^+ \chi_t$$

tu spin jest zachowany

$$+ GM \chi_{t'}^+ \frac{i(\vec{p}' \times \vec{p}) \cdot \vec{\sigma}}{4m^2} \chi_t$$

tu może zajść zmiana spinu

$$\gamma^0 = \begin{pmatrix} 1 & 0 \\ 0 & -1 \end{pmatrix}, \quad \vec{\gamma} = \begin{pmatrix} 0 & \vec{\sigma} \\ -\vec{\sigma} & 0 \end{pmatrix}$$

$$N_{\#}^0 = -\tilde{F}_2 (p'^0 + p^0) \bar{u}(p', t') u(p, t) =$$

$$= -\tilde{F}_2 (p'^0 + p^0) \bar{u}^\dagger(p', t') \gamma^0 u(p, t) =$$

$$= -\tilde{F}_2 H(p'^0 + p^0) \chi_{t+1}^\dagger \left( 1 - \frac{\vec{p}' \cdot \vec{\sigma}}{p'^0 + m} \right) \begin{pmatrix} 1 \\ \frac{\vec{p} \cdot \vec{\sigma}}{p^0 + m} \end{pmatrix} \chi_t$$

$$= -\tilde{F}_2 H(p'^0 + p^0) \chi_{t+1}^\dagger \left( 1 - \frac{\vec{p}' \cdot \vec{\sigma} \vec{p} \cdot \vec{\sigma}}{(p'^0 + m)(p^0 + m)} \right) \chi_t$$

$$= -\tilde{F}_2 H(p'^0 + p^0) \chi_{t+1}^\dagger \left( 1 - \frac{\vec{p}' \cdot \vec{p}}{(p'^0 + m)(p^0 + m)} - \frac{i(\vec{p}' \times \vec{p}) \cdot \vec{\sigma}}{(p'^0 + m)(p^0 + m)} \right) \chi_t$$

$$\equiv -\tilde{F}_2 S_3 \chi_{t+1}^\dagger \chi_t$$

$$- \tilde{F}_2 S_4 \chi_{t+1}^\dagger i(\vec{p}' \times \vec{p}) \cdot \vec{\sigma} \chi_t$$

$$\stackrel{M}{\hat{a}} - \tilde{F}_2 \left( 2m + \frac{(\vec{p}' - \vec{p})^2}{4m} \right) \chi_{t+1}^\dagger \chi_t$$

$$- \tilde{F}_2 \left( -\frac{1}{2m} \right) \chi_{t+1}^\dagger i(\vec{p}' \times \vec{p}) \cdot \vec{\sigma} \chi_t$$

Dodając  $N_I^0$  i  $N_{II}^0$ , otrzymujemy

$$N^0 \approx \left( G_M - G_M \frac{(\vec{p}' - \vec{p})^2}{8m^2} - 2m\tilde{F}_2 \right. \\ \left. - 2m\tilde{F}_2 \frac{(\vec{p}' - \vec{p})^2}{8m^2} \right) \chi_{t1}^+ \chi_t \\ + G_M \chi_{t1}^+ \frac{i(\vec{p}' \times \vec{p}) \cdot \vec{\sigma}}{4m^2} \chi_t \\ + 2m\tilde{F}_2 \chi_{t1}^+ \frac{i(\vec{p}' \times \vec{p}) \cdot \vec{\sigma}}{4m^2} \chi_t$$

Aby uzyskać wyrażenia na (zależne od pędu) operatory w przestrzeni spinu pojedynczego nukleonu, należy pominać  $\chi_{t1}^+$  i  $\chi_t$

$$\vec{j}^0 \approx G_E \mathbb{1} \\ - (2G_M - G_E) \frac{(\vec{p}' - \vec{p})^2}{8m^2} \mathbb{1} \\ + (2G_M - G_E) i \frac{(\vec{p}' \times \vec{p}) \cdot \vec{\sigma}}{4m^2}$$

Zupełnie analogiczne rachunki dla  $\vec{N}$  prowadzą do

$$\vec{N} \rightarrow \vec{j} = G_E \frac{\vec{p} + \vec{p}'}{2m} \mathbb{1} + \frac{i\vec{\sigma} \times (\vec{p}' - \vec{p})}{2m}$$

Dodatkowo należy pamiętać  
o argumentach formfaktora

$$G_E = G_E(q^2)$$

$$G_M = G_M(q^2)$$

↑ kwadrat przekazu czteropędu

$$q \equiv (\omega, \vec{Q})$$

↑  
przekaz  
czteropędu

↑  
przekaz  
energii

↑  
przekaz trójpędu

$$q^2 = \omega^2 - \vec{Q}^2$$

Konsekwentne zastosowanie redukcji  
nierelatywistycznej oznacza także  
zastąpienie  $q^2$  przez  $-\vec{Q}^2$   
w argumentach  $G_E$  i  $G_M$

W ten sposób mamy już kompletną  
definicję operatora prądu pojedynczego  
nukleonu dla (nierelatywistycznej)  
fizyki jądrowej.